预喷策略对柴油机燃烧和排放影响的研究

Research on the effects of the pilot injection strategies on combustion

and emission in diesel engine

包宁 董颜 金华玉 刘江唯 胡芳 赵伟 李达 吕晓刚 (一汽解放商用车开发院,长春 130011)

摘 要:喷油策略直接影响这柴油机的燃烧和排放,同时也影响震动和噪声。本文利用 converge 软件搭建了柴油机燃烧模型,研究了预喷量、主预喷间隔和轨压对柴油机燃烧和排放的影响。研究表明适量的预喷能够得到较好的燃烧和排放折中关系,而且越小的主预喷间隔,折中关系越好。提高轨压虽然能降低油耗,但是会明显增加 NOx 排放。

关键词: 预喷,柴油机,CFD,燃烧,converge

Abstract: Fuel injection strategy directly affects the combustion and emission of the diesel engine, and also affects vibration and noise. In this paper, a combustion model of diesel engine is built by using converge software. The effects of pre-injection volume, pilot-main injection interval and rail pressure on combustion and emission of diesel engine are studied. The results show that a good compromise relationship between combustion and emission can be obtained by proper pre-injection, and the smaller the pilot-main injection interval, the better the compromise relationship. Increasing rail pressure can reduce fuel consumption, but will significantly increase NOx emissions.

Key words: pilot injection, diesel engine, CFD, combustion, converge

1. 引言

柴油机的扩散燃烧方式决定了其燃烧过程受喷油过程影响。不同的喷油策略能够影响柴油机缸内混合气的形成和分布。多次喷射是将每循环的燃油分两次或者更多次喷入缸内的策略。一般来说,预喷一定量的燃油,能够提高缸内温度,缩短主喷滞燃期,减少主喷预混燃烧比例,从而降低燃烧噪声[1]。同时,不同的预喷策略也在很大程度上影响主喷的燃烧,从而影响柴油机的油耗和排放特性。合理的预喷油量和预喷时刻能够得到油耗和 NOx 排放之间的较好折中关系[2]。合理的后喷能够明显降低碳烟排放,但是会造成油耗的上升[3]。

三维模拟的方法能够较准确的得到柴油机缸内的燃烧情况。通过预设的喷油规律,能够灵活实现各种喷射方式,所以采用三维模拟燃烧的方式非常适合研究柴油机多次喷射的过程。本文利用 converge 软件搭建了柴油机燃烧模型,通过三维模拟的方式研究预喷量、主预喷间隔和轨压对柴油机燃烧和排放的影响。

2. 计算模型

2.1 模拟所用柴油机的技术参数

所模拟直喷增压中冷柴油机采用了高压共轨系统,其主要技术参数见表 1。

表 1: 柴油机主要技术参数

技术参数	指标
缸径/mm	123
行程/mm	155
压缩比	18
涡流比	1. 5

2.2 计算网格

本研究利用专业计算软件 Converge 进行柴油机进气、燃烧模拟研究, Converge 采用自适 应网格, 网格参数设置如表 2 所示。

名称 设定值 最大网格尺寸(m×m×m) $0.004 \times 0.004 \times 0.004$ 整体加密指数 喷嘴加密指数 3 喷嘴加密区小直径(m) 0.0005 喷嘴加密区大直径(m) 0.003 喷嘴加密区长度(m) 0.02 网格数上限 3000000

表 2: 网格设置

2.3 计算模型及边界条件

本研究的湍流模型采用 RNG k-ε 模型。该模型来源于严格的统计技术: 重整化群理论 (renormalization group theory)。在形式上与标准 k-ε 模型相似,但是 RNG k-ε 模型应用范围更 广,并且计算的准确性和可靠性更高。

其湍动能输运方程为:

$$\frac{\partial(\rho k)}{\partial t} + \frac{\partial(\rho u_i k)}{\partial x_i} = \tau_{ij} \frac{\partial u_i}{\partial x_j} + \frac{\partial}{\partial x_j} \frac{\mu}{\Pr_k} \frac{\partial k}{\partial x_j} - \rho \varepsilon + S_s$$
(1)

其耗散率的输运方程为:

$$\frac{\partial(\rho\varepsilon)}{\partial t} + \frac{\partial(\rho u_{i}\varepsilon)}{\partial x_{i}} = \frac{\partial}{\partial x_{j}} \left(\frac{\mu}{\Pr_{\varepsilon}} \frac{\partial\varepsilon}{\partial x_{j}} \right) - c_{\varepsilon 3} \rho\varepsilon \frac{\partial u_{i}}{\partial x_{i}} + \left(c_{\varepsilon 1} \frac{\partial u_{i}}{\partial x_{j}} \tau_{ij} - c_{\varepsilon 2} \rho\varepsilon + c_{s} S_{s} \right) \frac{\varepsilon}{k} - \rho \frac{C_{\mu} \eta^{3} \left(1 - \eta / \eta_{0} \right) \varepsilon^{2}}{\left(1 + \beta \eta^{3} \right)} \frac{\varepsilon^{2}}{k} \tag{2}$$

这里,

$$\eta = \frac{k}{\varepsilon} \left| S_{ij} \right| \tag{3}$$

$$S_{ij} = \frac{1}{2} \left(\frac{\partial \widetilde{u}_i}{\partial x_j} + \frac{\partial \widetilde{u}_j}{\partial x_i} \right) \tag{4}$$

其中, S_s 是源项,各项系数如表 3 所示。

表 3 RNG k-ε 模型系数

C_{μ}	$1/\Pr_k$	$1/\Pr_{\varepsilon}$	$c_{arepsilon_1}$	$c_{\varepsilon 2}$	$c_{\varepsilon 3}$	β	η_0	C_s	C_{ps}
0. 0845	1.39	1. 39	1.42	1.68	-1	0.012	4. 38	0	0.03

初次破碎采用 KH-ACT 模型,该模型是在 KH 模型基础上修改而来。KH-ACT 模型中考虑了空气动力学、空化和湍流对初次破碎的影响。二次破碎采用 KH-RT 模型,即在大于液核长度 L_b 的距离时,先考察液滴是否符合 RT 模型的破碎条件,如果不符合,再考虑 KH 模型的破碎条件。 L_b 可由下式得出:

$$L_b = C_{bl} \sqrt{\frac{\rho_l}{\rho_g}} d_0 \tag{5}$$

其中, C_{bl} 是破碎长度常数, ρ_{l} 是液体密度, ρ_{g} 是气体密度, d_{0} 是喷孔直径。

燃烧模型采用详细化学反应机理,其反应机理来自文献[4]。用正庚烷 (C7H16) 来代替柴油进行燃烧化学反应计算,该反应机理包括 41 种组分和 124 个基元反应。

液滴碰撞聚合模型采用 NTC (No Time Counter)模型[5],由 Schmidt 提出。该模型的推导源于随机碰撞最基本的概率模型,该模型具有计算速度快,准确度高的特点[8]。 碰壁模型采用壁面油膜模型,该模型计算中采用一种混合的计算方式,即某些计算中采用假设的粒子量,其他计算中采用油膜量。氮氧模型采用 extended Zel'dovich mechanism,碳烟模型采用 Hiroyasu-NSC Model。

2.4 计算模型校核

本研究在 1200rpm100%负荷下进行研究。计算缸压与试验缸压对比如图 1 所示。计算缸压与试验缸压非常吻合,计算结果较准确。

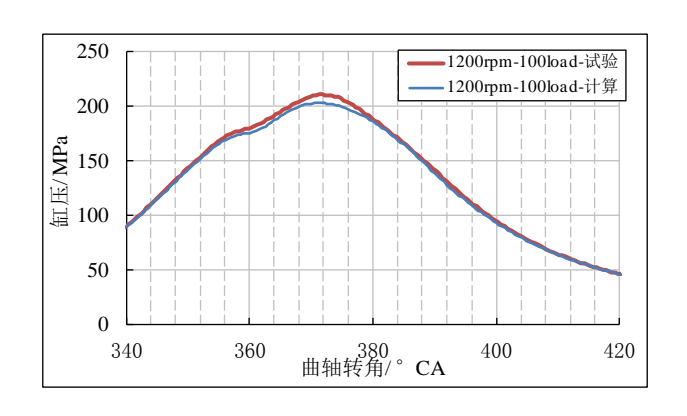


图 1 计算模型校核结果

3. 结果与讨论

3.1 不同预喷量对比

图 2 是预喷量分别是预喷量为 3mg、9mg、30mg、60mg 的喷油规律曲线。起初设定预喷时刻和主喷时刻不变。但是随着预喷量的增加,主预喷时间间隔越来越短。在 30mg 预喷量时,主预喷间隔几乎为 0°CA。这种主预喷间隔为零的情况在实际中是很难实现的,但是作为理论研究有一定的意义。在预喷量为 50mg 时,由于预喷持续时间过长,所以需要将主喷时刻延后。

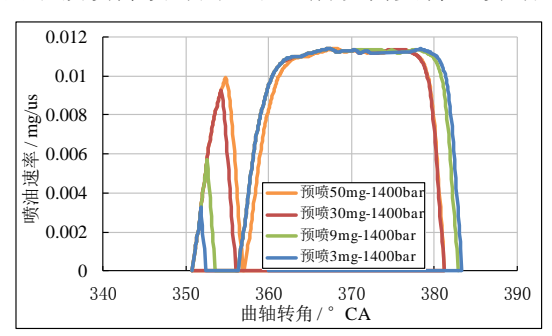


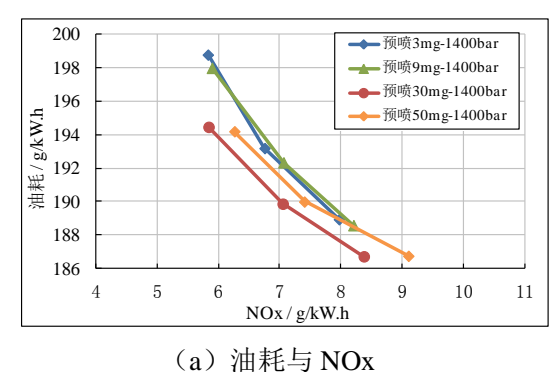
图 2 不同预喷量的喷油规律

图 3 是不同喷油时刻,不同预喷量对油耗和排放的影响。图中每条线代表一个预喷量,每条线上的不同点代表不同的喷油时刻。从图中可以看出,预喷量为 3mg 和 9mg 的工况油耗和 NOx 的折中曲线几乎一样,soot 和 NOx 的折中曲线区别也不大。当预喷量增加到 30mg 时,在 NOx 相同的情况下,油耗明显更低,soot 也有一定的降低。当预喷量增加到 50mg 时,在 NOx 相同的情况下,油耗较预喷量 30mg 时有所增加,soot 也有所增加。可见,对于随着预喷量的增加,在相同 NOx 的情况下,油耗先降低,之后升高,存在最佳的一个预喷量。

0.06

0.05

ყ. 0.04 გ ე.03



0.01 0 4 5 6 7 8 9 10 NOX/g/kW.h

(b) soot与NOx

- 预喷3mg-1400bar

<u>→</u> 预喷9mg-1400bar

─ 预喷30mg-1400bar

−预喷50mg-1400bar

11

图 3 不同预喷量对油耗和排放的影响

图 4 是图 2 中喷油规律的计算结果,与图 5 中每条线的中间点对应。可以看出,增加预喷量后,

爆发压力明显增加了;初始放热率增加,但是放热率峰值降低;NOx 初始值较高,但是中后期NOx增加较少;soot 在燃烧前中期都较高,后期相差不大。在370°CA到380°CA的范围内,预喷量较多的放热率较低,NOx增加量较低,同时soot较高。

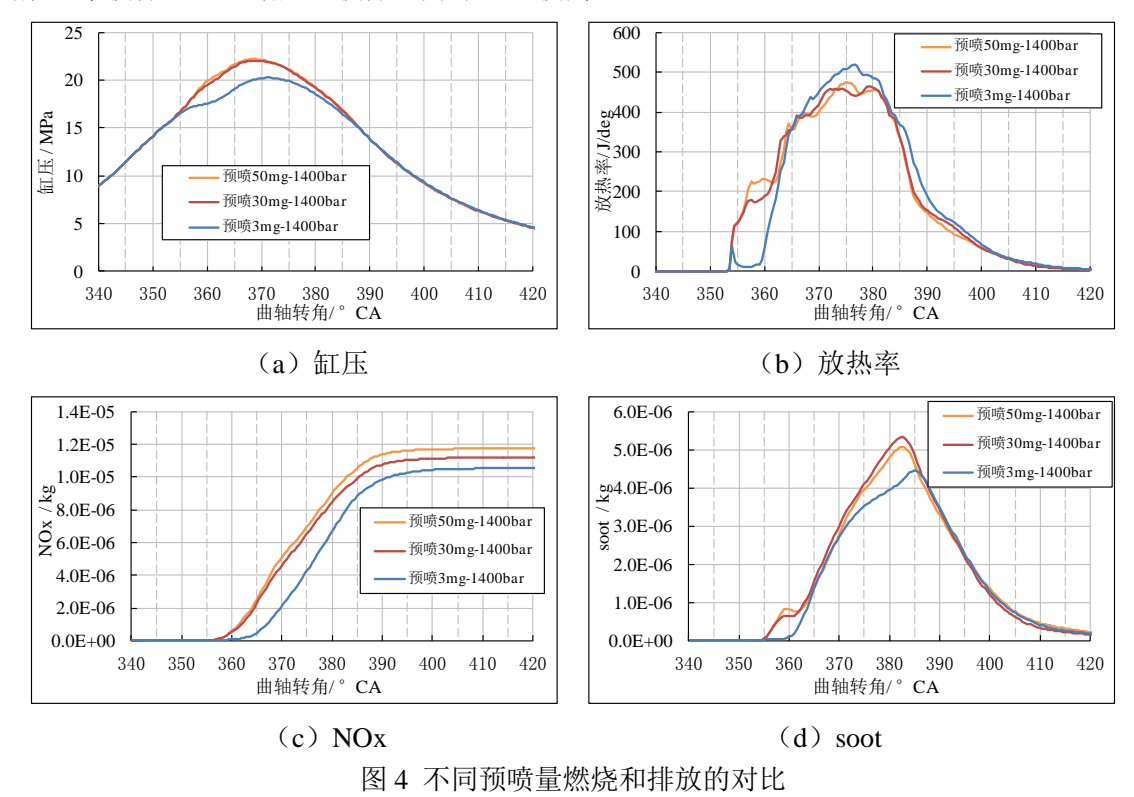


图 5 是不同预喷量的活塞表面 lambda 云图对比。可以看出,在 365° CA 时,预喷量为 30mg 的工况在主喷混合气接触到活塞表面之前,预喷的混合气已经覆盖的喷油落点附近的区域。在 375° CA 时,预喷量为 30mg 的工况在活塞表面的混合气更浓。由于预喷量较大,相当于把主喷混合气喷到预喷混合气中,形成了较浓的混合气。这导致了在 370° CA 到 380° CA 的范围内,虽然喷油速率是相同的,但预喷量为 30mg 的工况放热率更低,同时 NOx 增加较少,soot 生成较多。在 365° CA 时,相比于预喷量为 30mg, 预喷量为 50mg 的工况预喷形成的混合气范围更大,而在喷油落点位置附件混合气较稀,这与预喷量 50mg 的预喷最大速度较预喷量 30mg 的速度大 10%有关。由于喷油落点位置附件混合气较稀,之后燃烧室凹坑内的混合气浓度也较预喷量为 30mg 的工况稀,这导致预喷量 50mg 的工况 NOx 更高,放热率峰值更高,soot 峰值更低。这种主预喷间隔为零燃烧过程与坡型喷射的燃烧过程[6]类似。

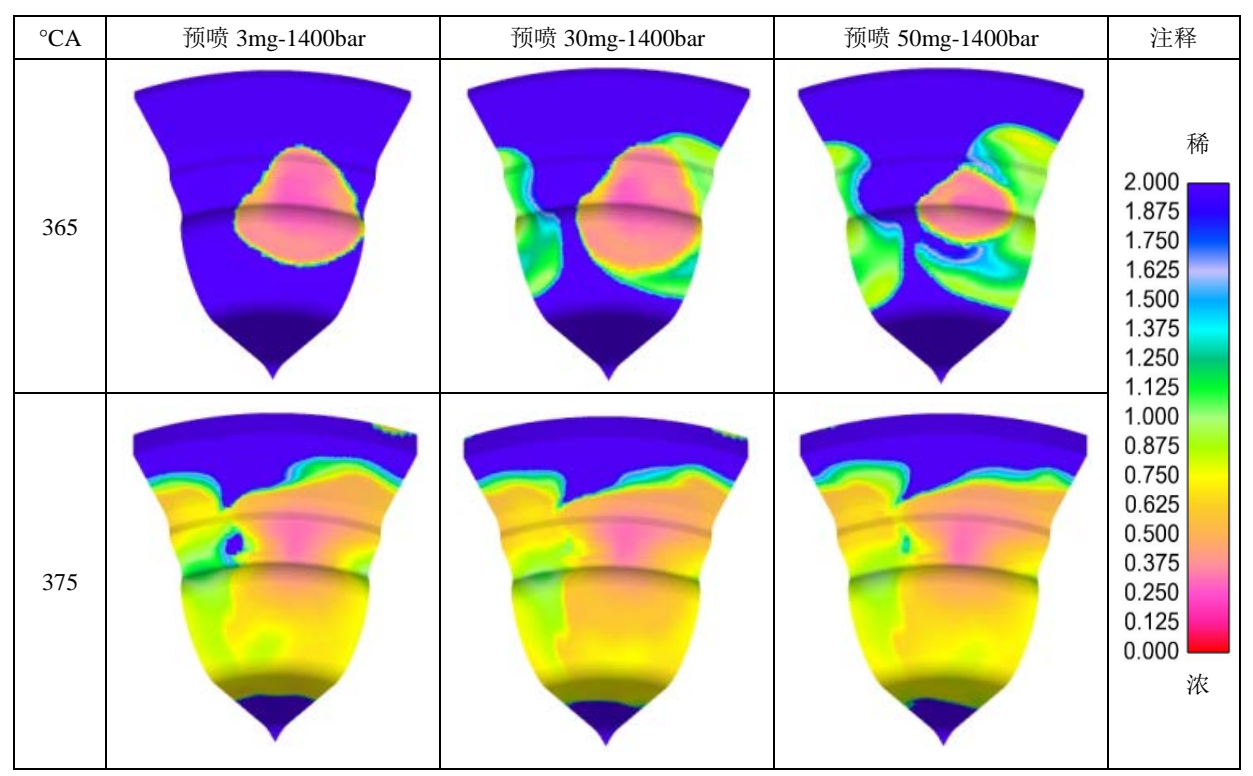


图 5 不同预喷量的 lambda 云图对比

3.2 不同主预喷间隔对比

主预喷间隔为零虽然会带来一定的好处,但是很难实现。因此,研究将主预喷间隔加大,对燃烧和排放的影响。图 6 是主预喷间隔为 0° CA 和 5° CA 的喷油规律曲线。

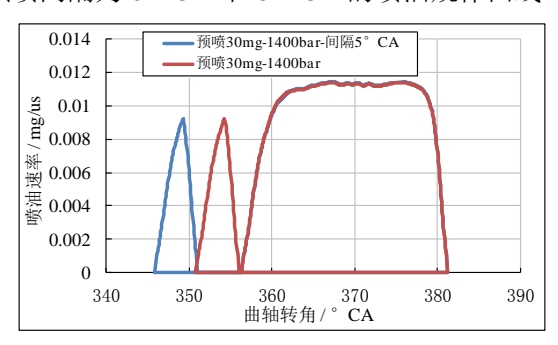
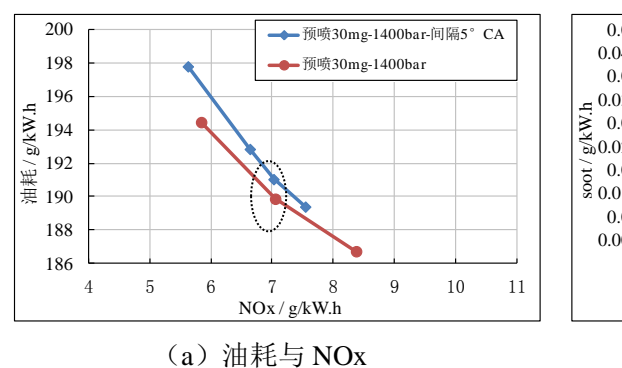
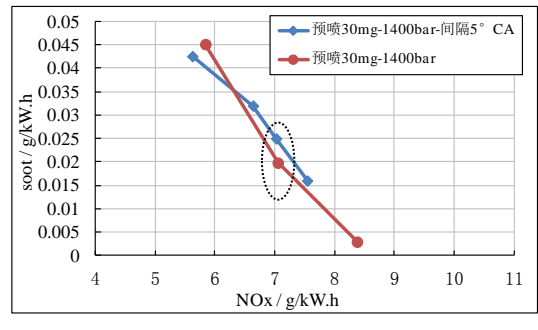


图 6 不同主预喷间隔的喷油规律曲线

图 7 是不同主预喷间隔对油耗和排放的影响。可以看出,增加主预喷间隔后,相同 NOx 排放时,油耗增加,soot 也增加。图中黑色虚线圈内两点的喷油规律如图 6 所示,主喷正时相同。可以看出,正时相同的情况下,喷油间隔的增加主要是增加了油耗。当主预喷间隔变为 5° CA 后,虽有油耗有所增加,但是依然较预喷量为 3mg 时油耗低。





(b) soot与NOx

图 7 不同主预喷间隔对油耗和排放的影响

图 8 是图 7 中黑色虚线圈内两点的燃烧和排放对比。可以看出,由于预喷量较大,主预喷时间间隔较大的工况在上之点前缸压较高。365° CA 后两个工况的缸压相差不多。也就是说,在较大预喷量的情况下,过早的预喷提高了压缩负功,导致油耗较高。从累计放热量来看,除了预喷的区别,整个累计放热量曲线几乎相同。NOx 生成曲线和 soot 曲线也基本相同。

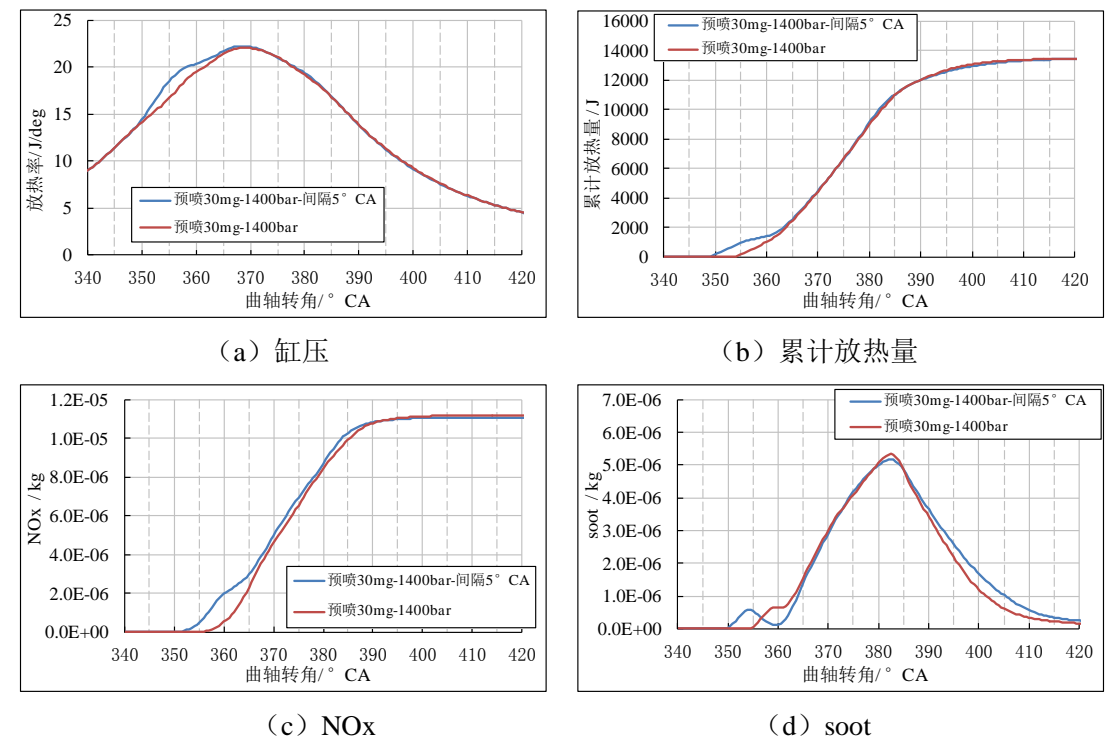


图 8 不同主预喷间隔对燃烧和排放的对比

3.3 不同轨压对比

图 9 是预喷量为 30mg, 主预喷间隔为零, 轨压分别为 1600bar 和 1400bar 的喷油规律曲线。轨压提高后,喷油速率峰值变大,喷油持续期缩短。

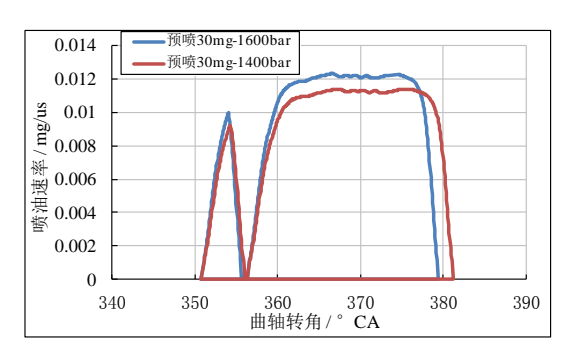


图 9 不同轨压的喷油规律曲线

图 10 是不同轨压的油耗与排放。图中每条线代表一个轨压,每个点代表不同的喷油时刻。图 9 中的喷油规律对应图 10 中每条线的中间点。从图 10 中可以看出,增大轨压后,油耗降低,NOx 升高,soot 降低。在相同 NOx 比排放下,大轨压的油耗较高,如图 10 中黑色虚线圈内两点所示。

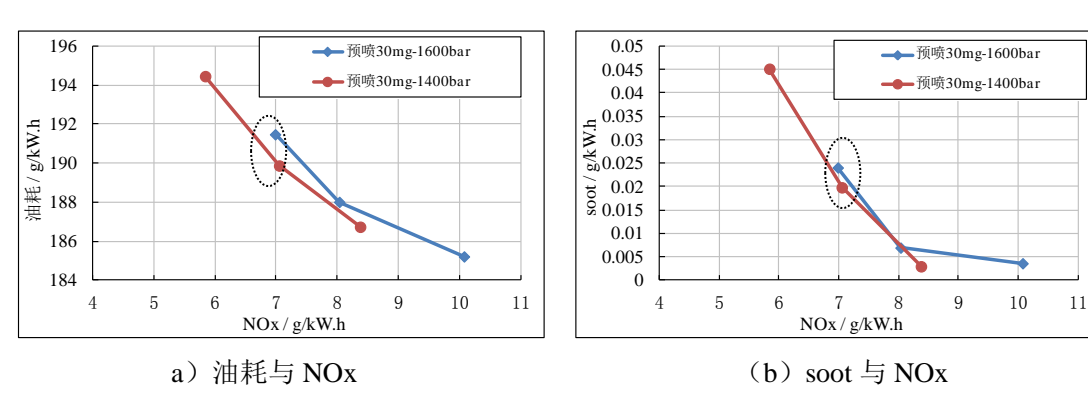
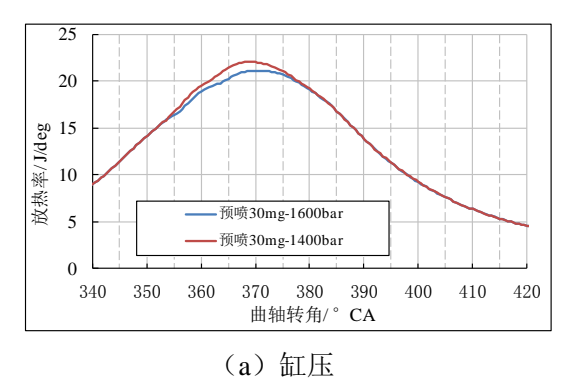
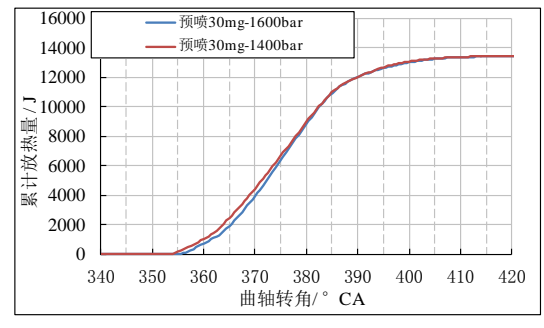


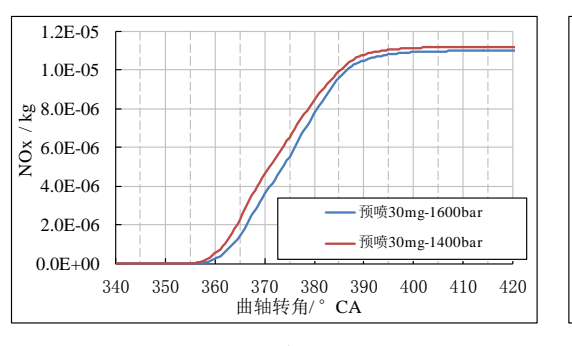
图 10 不同轨压对油耗和排放的影响

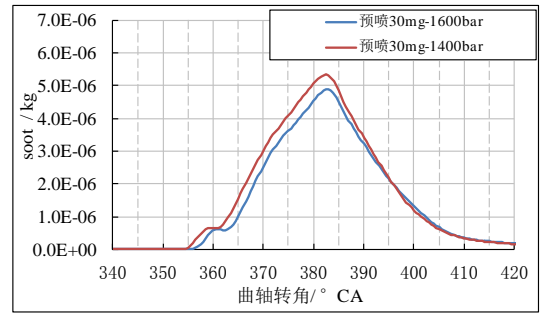
图 11 是图 10 中黑色虚线圈内两点的燃烧和排放对比。其中红线的喷油正时比蓝线提前 2°CA,因此红线爆发压力较高,油耗较低。从累计放热量来看,先喷油的低轨压工况初始放热量高,在 380°CA 附近被高轨压工况追上,之后两个工况放热量基本相同。从 NOx 生成来看,先喷油的低轨压工况初始 NOx 生成较多,但是在 380°CA 后 NOx 的增加量小于高轨压工况,最终两个工况的生成的 NOx 相差不大。从 soot 生成曲线来看,低轨压工况的 soot 峰值较高,但后期能够氧化大部分 soot,最终较高轨压工况略低。





(b) 累计放热量





(c) NOx (d) soot

图 11 不同轨压燃烧和排放的对比

图 12 是图 10 中黑色虚线圈内两点的 lambda 和 NOx 云图对比。可以看出,低轨压的工况由于 先喷油,在 370° CA 时混合气运动的较高轨压的远,同时也生成了更多的 NOx。385° CA 时,高轨压工况的混合气运动范围开始超过低轨压工况,混合气的快速运动也导致了更多的 NOx 生成。同时,高轨压工况有更多的混合气向壁面运动,这部分混合气产生的 soot 温度较低,较难被最终氧化,这导致了其 soot 排放稍高。

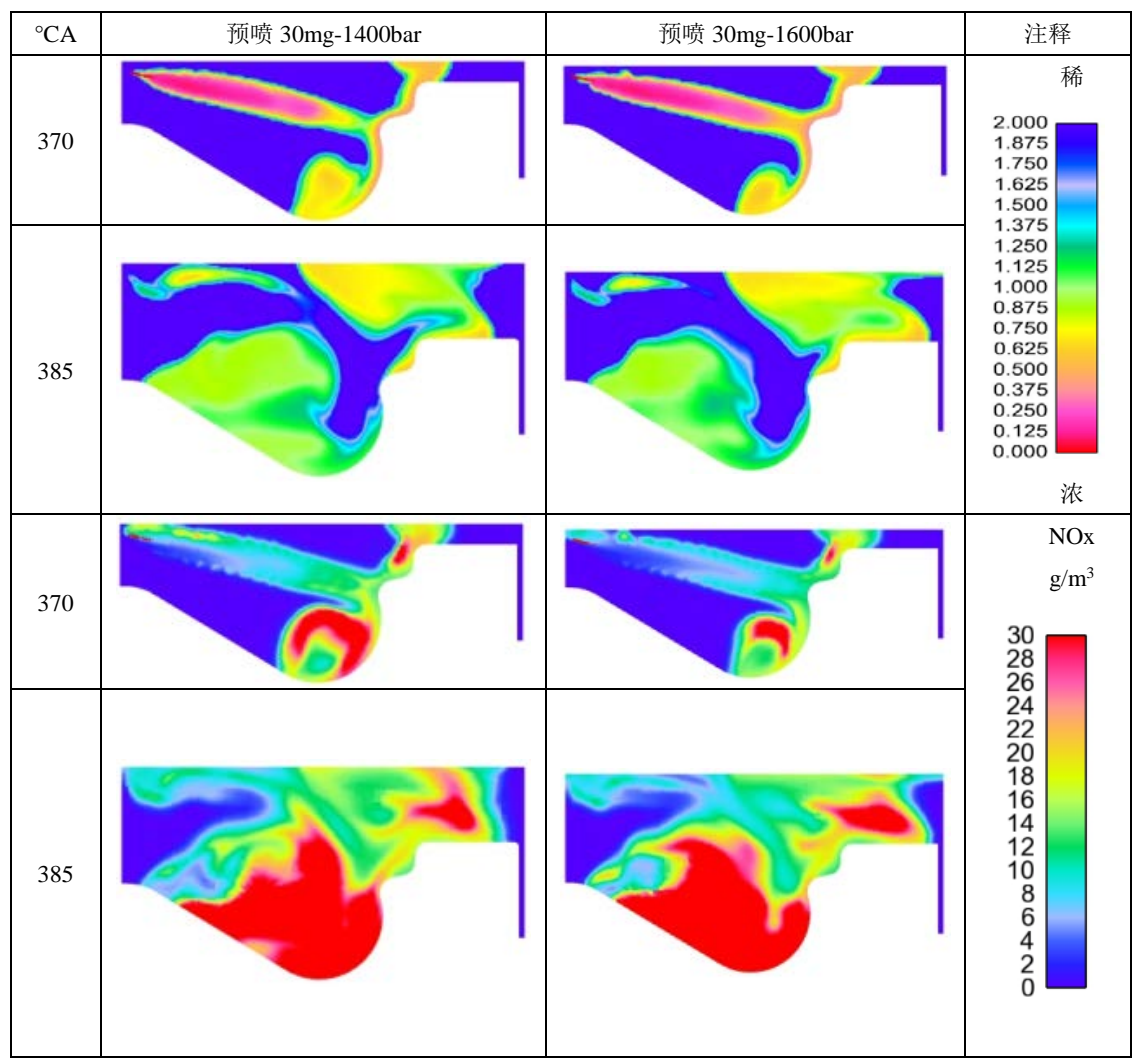


图 12 不同轨压的 lambda 和 NOx 云图对比

4 结论

本文通过建立柴油机三维燃烧模型,研究了预喷量、主预喷间隔和轨压对柴油机燃烧和排放的影响。研究发现存在一个合适的预喷量,能够得到最佳的油耗和排放折中关系,且当主预喷间隔为零时这种关系最佳。虽然主预喷间隔为零很难实现,但对于预喷策略也具有一定的指导意义。提高轨压虽然能降低油耗,但是会明显增加 NOx 排放。

5. 参考文献

- [1] SuSumu Kohketsu, Kazutoshi Mori, Tetsuro Kato. Technology for Low Emission, Combustion Noise and Fule Consumption on Diesel Engine. SAE, No.940672 . 1994
- [2] 张全长,张朋辉,郑尊清,徐佳. 预喷对柴油机低温燃烧影响的试验研究. 内燃机工程, 2014 (35):8-13.
- [3] D.T. Hountalas, V. T. Lamaris, E. G. Pariotis, H. Ofner. Parametric Study Based on a Phenomenological Model to Investigate the Effect of Post Fuel Injection on HDDI Diesel Engine Performance and Emissions-Model Validation Using Experimental Data. SAE2008-06-0641
- [4] 刘耀东.基础燃料 (PRF) 及汽油表征燃料 (TRF) 化学反应动力学骨架模型的研究: [博士论文]. 大连: 大连理工大学, 2013.
- [5] Schmidt, D. P. and Rutland, C. J.. A New Droplet Collision Algorithm. Journal of Computational Physics, Vol.164, p.62, 2000.
- [6] 金华玉,包宁,赵伟,陈长军,胡芳,坡形喷射对柴油机燃烧排放影响的模拟研究,2015年 idaj 中国区用户年会,2015